

ZNANSTVENI IZAZOVI: KAKO DOLAZI DO PROMJENE VERZIJE MODELA U OPERATIVI

Martina Tudor

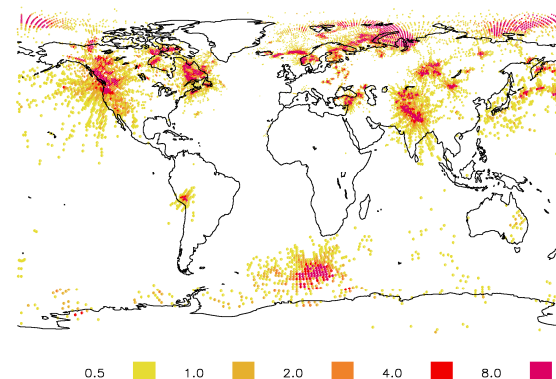
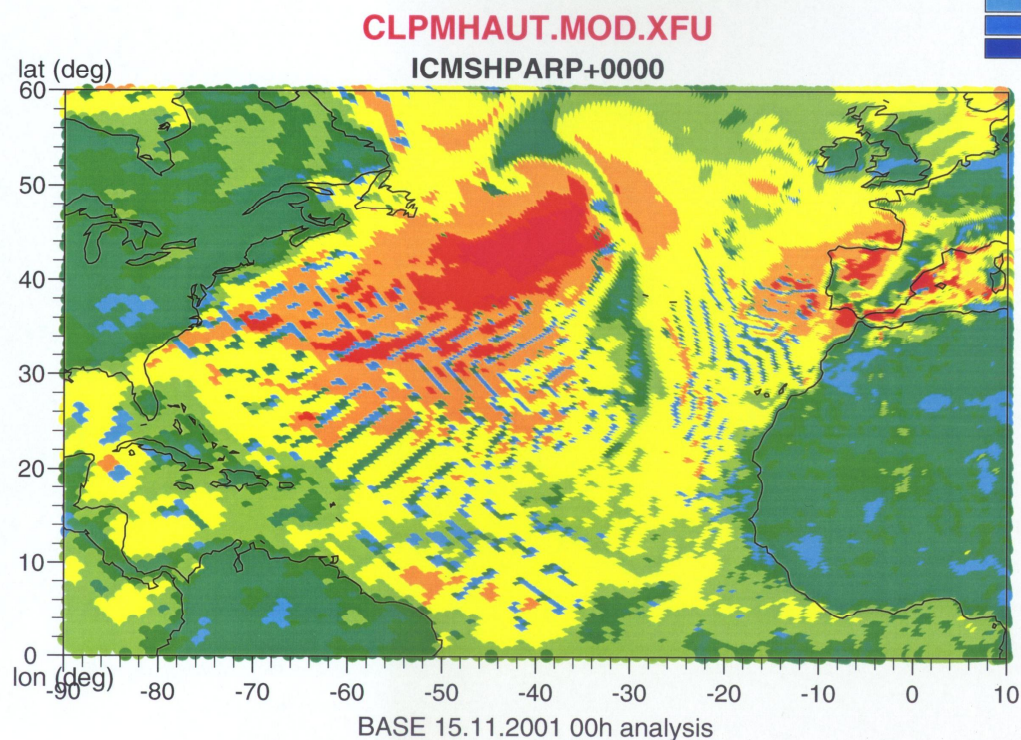
Državni hidrometeorološki zavod

Služba za meteorološka istraživanja i razvoj operativnih prognostičkih modela

Visina PBL-a (2000-2001) i nestabilnost (2002-2003)



- Na temelju Ri broja:
- prevelika promjenjivost
 - pokazuje nestabilnost



$$A = \frac{1}{2} |T(t + \Delta t) + T(t - \Delta t) - 2T(t)|$$

Tudor (2013) GMD
Nestabilnost povezana sa različitim brzinom padanja i isparavanja kapi vode i čestica leda.

Prema Ayotte (1996)

$$h_{CLA} = \min(z) \quad \text{gdje je} \quad \theta_V(z) \geq \frac{1}{z} \int_0^z \theta_V(z) dz + \chi_0$$

Tudor i Ivatek-Šahdan(2002) HMCČ, Ivatek-Šahdan i Tudor (2004) MetZeit
Za uspješnu prognozu epizoda bure nastalih zbog međudjelovanja
sinoptičkog polja tlaka sa lokalnom konfiguracijom terena dovoljna je 30
minutna dinamička adaptacija na 2km rezoluciju s parametrizacijom
turbulencije.

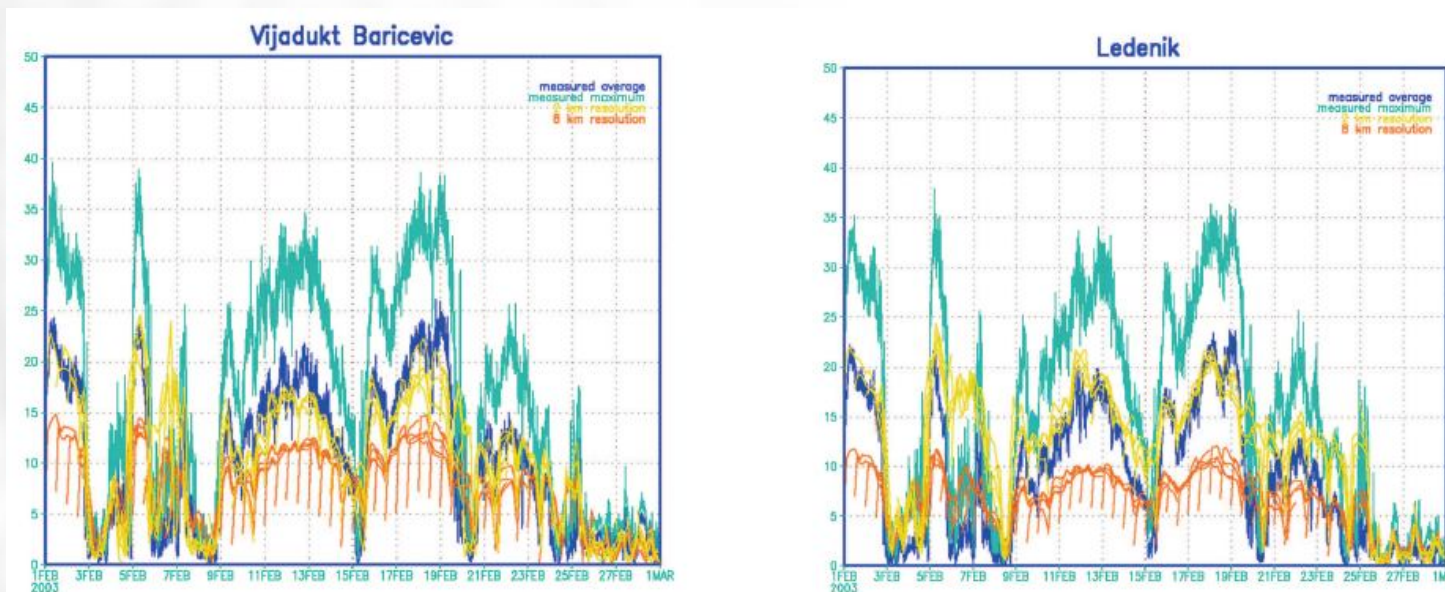
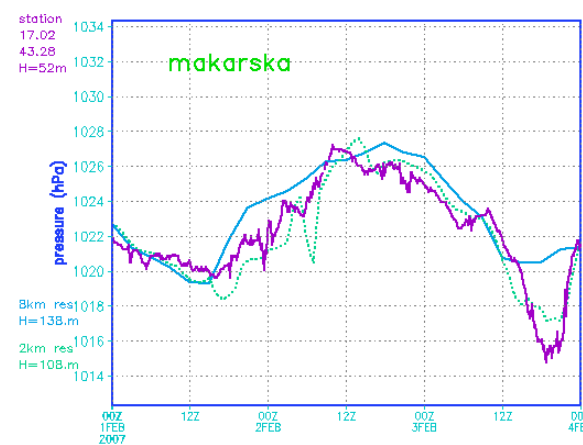
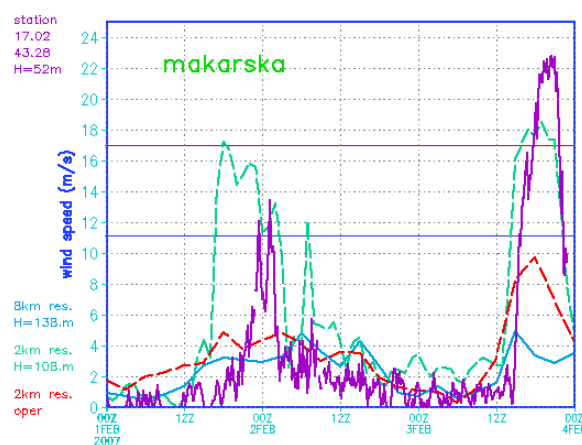
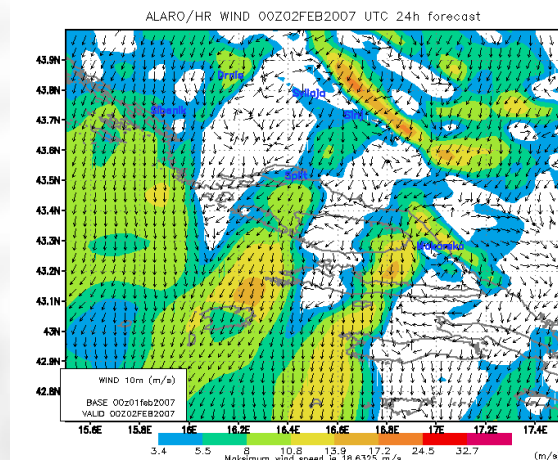


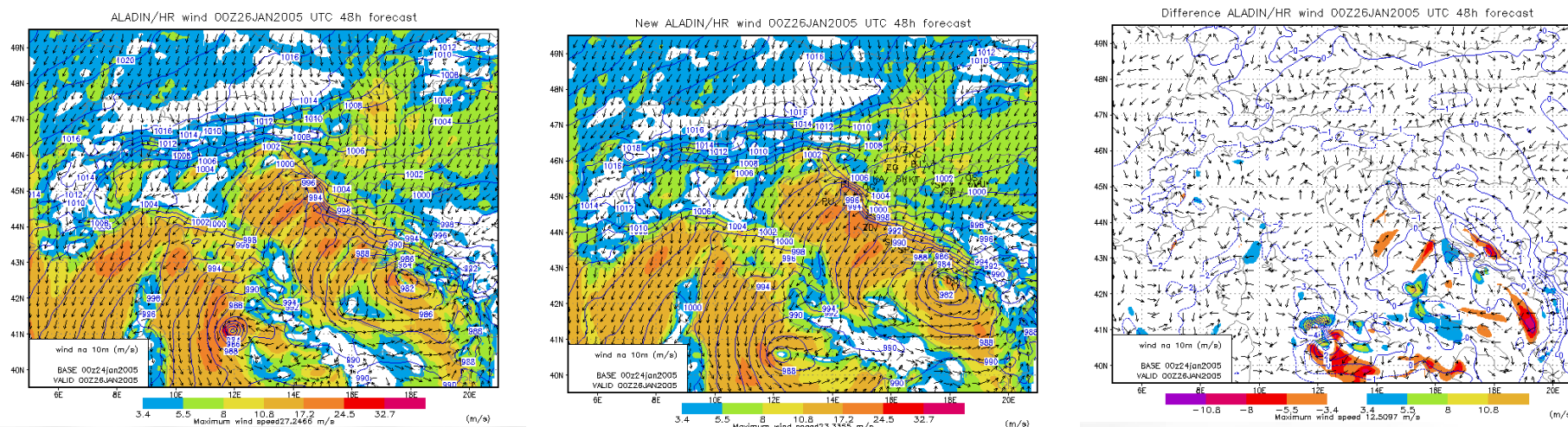
Figure 6: Measured wind speed for the Baricevic Viadukt (left) and the Ledenik Tunnel (right) automatic stations and modeled data from the closest model point for February 2003. Measured 10 min average wind speed (dark blue), 10 min maximum (light blue), all model forecasts for February 2003 (00 and 12 UTC runs) with 8 km resolution (orange) and 2 km resolution operational dynamical adaptations (yellow). The 2 km resolution predicts the occurrence and strength of the 10 min average wind speed well.

Tudor i Ivatek-Šahdan (2010) MetZeit

Za uspješnu prognozu kratkotrajnih epizoda bure nastalih zbog lokalnog dinamičkog razvoja (a ne samo prilagodbe polja vjetra terenu) potreban je “full-run” s nehidrostatskom dinamikom – operativan na 2km rezoluciji od 1. srpnja 2011.



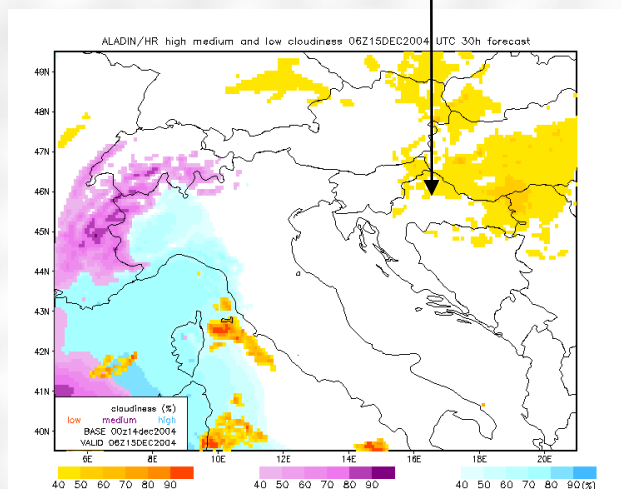
Semi-Lagranžijanska horizontalna difuzija (SLHD) popravlja intenzitet i položaj jedne ciklone, dok dobro prognozirana ciklona ostaje neizmjenjena, uz to se poboljšava prognoza magle u dolinama za vrijeme anticiklone (Tudor, Tutiš, Drvar, Stiperski, Vana, 2005, HMČ).



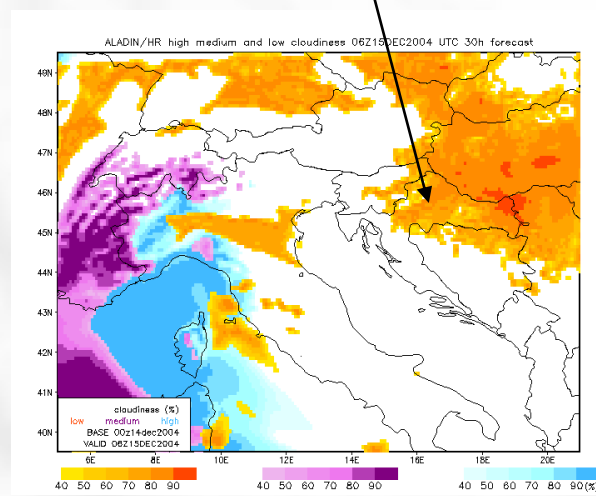
Vjeter na 10m i tlak sveden na srednju razinu mora dobiven numeričkom difuzijom (lijevo), SLHD (sredina) i razlika (desno), 48 satna prognoza s početkom u 00 UTC 24. siječnja 2005.

Alternativna kombinacija naoblake i zračenja poboljšava prognozu magle i niskih stratusa za Hrvatsku (Tudor, 2010, MAP).

Nedostaje magle i niskih oblaka

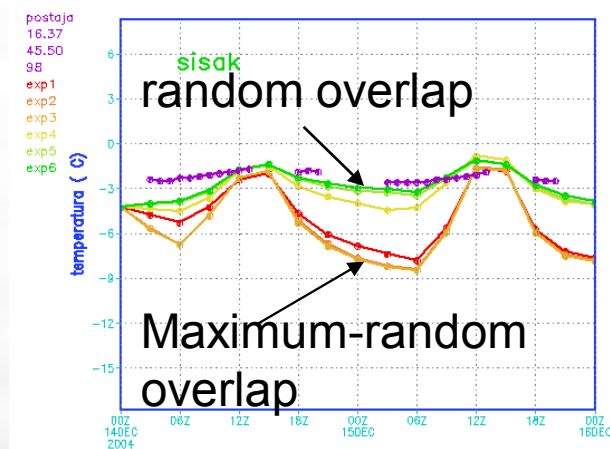


Random overlap



Temperatura na 2m

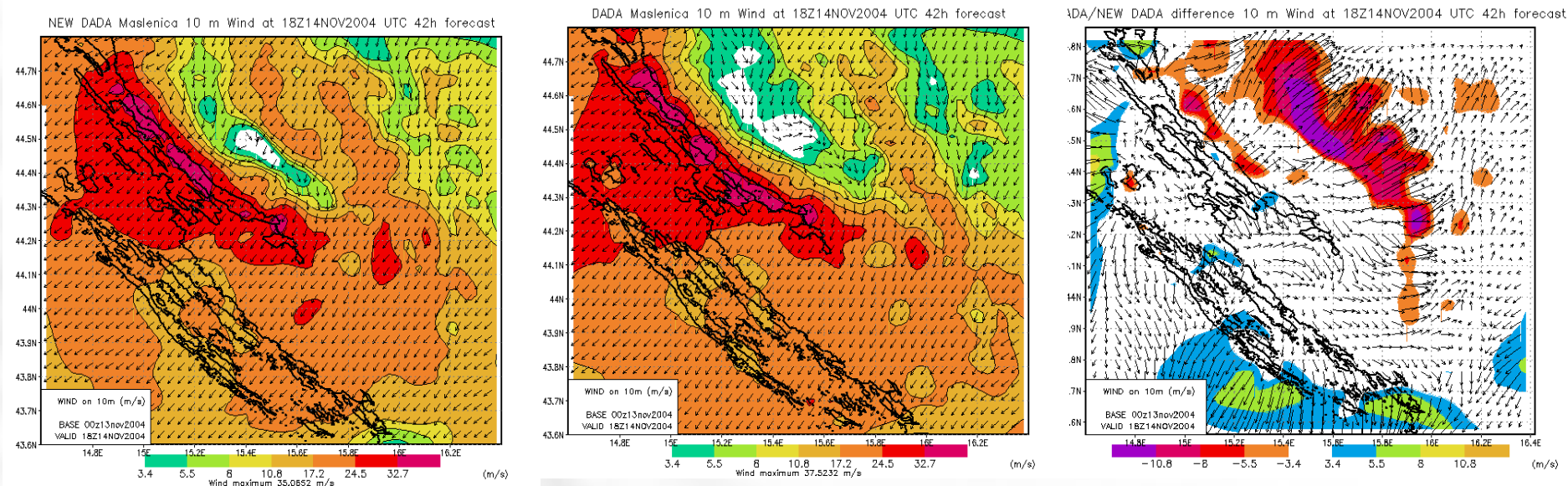
- mjerena
- prognoze sa različitim opcijama



Utjecaj i prikaz topografije u modelu (2005)



Uklanjanje ovojnice i izmjene u parametrizaciji gravity wave drag značajno mijenja prognozirano polje vjetra.



Prognozirana brina vjetra 10m nad tlom sa envelope (lijevo) bez (sredina) i razlika (desno) u 2km rezoluciji, 42 satna prognoza s početkom u 00 UTC 13. studenog 2004 (Drvar, Stiperski, Tudor, Tutiš, 2005, HMČ).

GFL: $q_v, q_l, q_i, q_r, q_s, TKE, \omega_u, \omega_d, \sigma_u, \sigma_d, \dots$

YTKE_NL%LADV=.TRUE., ! advektiramo

YTKE_NL%LCDERS=.FALSE., ! Ne računamo horiz. derivacije

YTKE_NL%LGP=.TRUE., ! Isključivo grid-point polje

YTKE_NL%LGPIGP=.FALSE., ! Ne čitamo kao gridpoint polje

YTKE_NL%LHV=.FALSE., ! Hermite interp. U vertikali

YTKE_NL%LQM=.FALSE., ! Monotone interpolacije

YTKE_NL%LQMH=.FALSE., ! Horiz. Monotona interp.

YTKE_NL%LREQOUT=.T., ! ispisujemo

YTKE_NL%LSLHD=.T., ! radimo horizontalnu difuziju

YTKE_NL%LSP=.FALSE., ! Ne koristi spektralni transform

YTKE_NL%LT5=.FALSE., ! Za 4Dvar

YTKE_NL%LV SPLIP=.F., ! spline interpolacija u vertikali (samo O3)

YTKE_NL%NCOUPLING=0, ! Bez lateralnih rubnih uvjeta

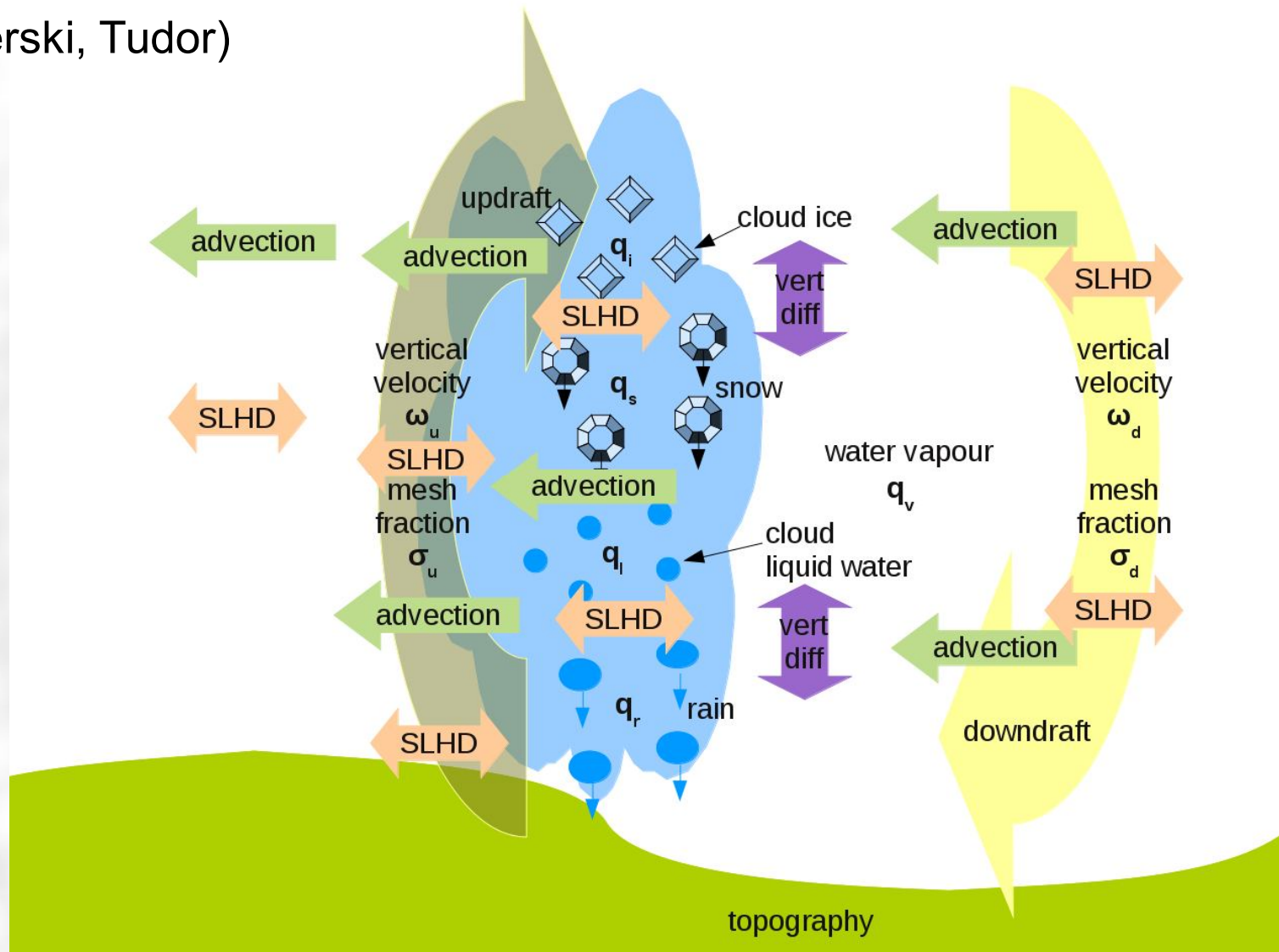
YTKE_NL%NREQIN=0, ! Ne čita iz ulazne datoteke

Definiramo tretman prognostičkih polja u ovisnosti o tome da li su dostupna u ulaznim datotekama, te za što ih koristimo u modelu.

Prognostička konvekcija (2005, 2006)



(Stiperski, Tudor)



Analiza numeričke stabilnosti modela te svojstava jednadžbi, metode izračunavanja doprinosa različitih procesa, zakoni sačuvanja etc.

- if DELT - mixing length is determined by vertical resolution

$$L_l = z_{i+1} - z_i$$

- if DEAR - mixing length is first computed from vertical resolution

$$L_l = z_{i+1} - z_i$$

and afterwards it is limited by stability according to Deardorff formulation

$$\theta_v = \theta \frac{1 + \frac{R_v}{R_d} r_v}{1 + r_v + r_c + r_r + r_i + r_s + r_g}$$

where $\frac{1}{2} \left(\frac{\theta_{vl+1} - \theta_{vl}}{\Delta z_{l+1}} + \frac{\theta_{vl} - \theta_{vl-1}}{\Delta z_l} \right) \frac{g}{\theta_{vref}} > 0$

$$L = \min \left(L, 0.76 \left(\frac{TKE}{\frac{1}{2} \left(\frac{\theta_{vl+1} - \theta_{vl}}{\Delta z_{l+1}} + \frac{\theta_{vl} - \theta_{vl-1}}{\Delta z_l} \right) \frac{g}{\theta_{vref}}} \right)^{\frac{1}{2}} \right)$$

- if BLKR - mixing length is first set to 100 and afterwards (the initialization with 100 is actually not necessary)

$$L_l = \alpha \frac{l_0 \left(\frac{1}{2} (z_{i+1} + z_i) - z_b \right)}{l_0 + \alpha \left(\frac{1}{2} (z_{i+1} + z_i) - z_b \right)}$$

where $\alpha = \frac{1}{2}^{-\frac{3}{2}}$ and $l_0 = 100$.

- if KEPS K-ε mixing length is calculated

$$L_l = C_d \frac{TKE^{\frac{3}{2}}}{\epsilon}$$

- dissipative lengths is first set equal to the mixing length and afterwards corrected in the surface layer (only?) by Monin-Obukhov if ORMC01 (this is hardcoded to false for Arome).

Jednadžbe modela (Catry et al. 2007, Tellus)

Za temperaturu

$$\begin{aligned} \frac{\partial T}{\partial t} + \vec{u}_a \cdot \nabla T &= \frac{1}{\rho C_p} \frac{dp}{dt} + \frac{1}{C_p} \dot{Q}_i + \frac{1}{C_p \rho} \sigma_{\alpha\beta} \frac{\partial u_\beta}{\partial x_\alpha} \\ &- \delta_m \frac{P}{C_p \rho^2} \frac{\partial p}{\partial z} - \frac{1}{C_p} \left((1 - \delta_m) C_{pd} \frac{P}{\rho} \frac{\partial T}{\partial z} - C_{prec} \frac{P}{\rho} \frac{\partial T}{\partial z} \right) \\ &- \frac{1}{\rho C_p} (L_{21}(\dot{\rho}_2 + \dot{\rho}_3) + L_{41}(\dot{\rho}_4 + \dot{\rho}_5)) \end{aligned}$$

ovog člana
nema u AROME

$$\frac{\partial q_k}{\partial t} + \vec{u}_a \cdot \nabla q_k = \frac{\dot{\rho}_k}{\rho} - \delta_m \frac{q_k}{\rho} \frac{\partial P}{\partial z}$$

Za vodenu paru, vodene kapi i kristale leda u oblaku, kišu i snijeg.

Prediktor-korektor shema s parametrizacijama (2003)



Jednadžbe su razdvojene na linearne i nelinearne članove te fizikalne parametrizacije. Linearni doprinos se izračunava implicitno Nelinearni iterativno

Predictor

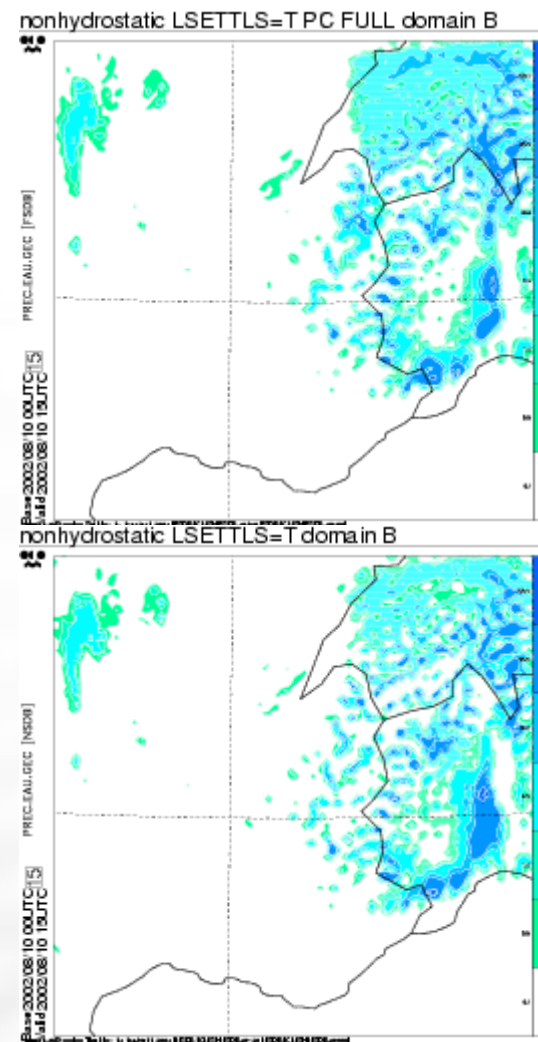
$$\frac{X_{Apred}^{t+\delta t} - X_O^t}{\delta t} = L\left(\frac{X_{Apred}^{t+\delta t} + X_O^t}{2}\right) + N\left(X_M^{t+\frac{\delta t}{2}}\right) + \phi(X_O^t)$$

Corrector

$$\frac{X_{Acorr}^{t+\delta t} - X_O^t}{\delta t} = L\left(\frac{X_{Acorr}^{t+\delta t} + X_O^t}{2}\right) + \frac{N(X_{Fpred}^{t+\delta t}) + N(X_O^t)}{2} + \phi(X_O^t)$$

we can use $\phi(X_O^t)$, $\phi(X_A^t)$ or $\frac{\phi(X_O^t) + \phi(X_A^t)}{2}$

Položaj O točaka i fizikalne tendencije u njima se izračunavaju iterativno.



Stratiform precipitation, 5 km res, Alps, 10th Aug 2002.

Doprinosi modela u početnoj (O) i završnoj (F) točki semi-lagranžijanske putanje se kombiniraju radi povećanja preciznosti modela

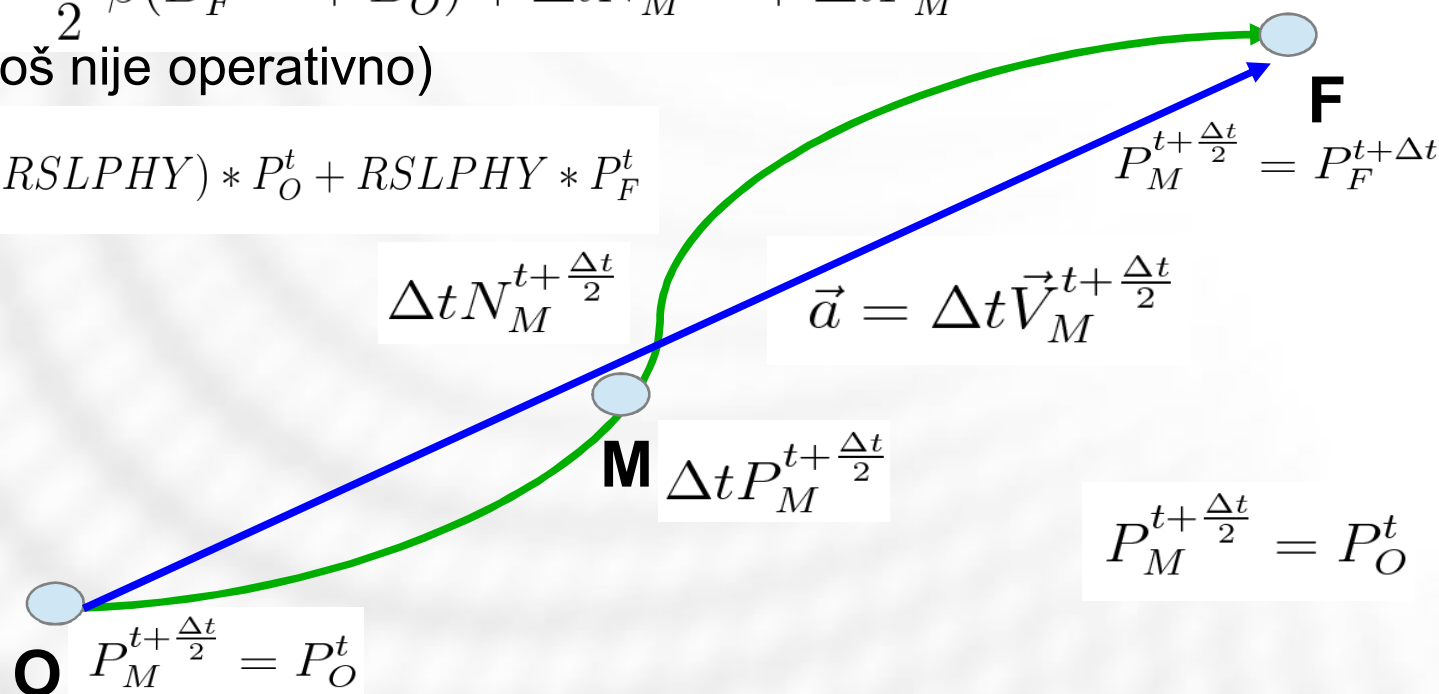
$$\psi_F^{t+\Delta t} - \psi_O^t = \frac{\Delta t}{2}(B_F^{t+\Delta t} + B_O^t) + \frac{\Delta t}{2}(N_F^{t+\Delta t} + N_O^t) + \frac{\Delta t}{2}(P_F^{t+\Delta t} + P_O^t)$$

Ili se izračunavaju u središnjoj točki putanje

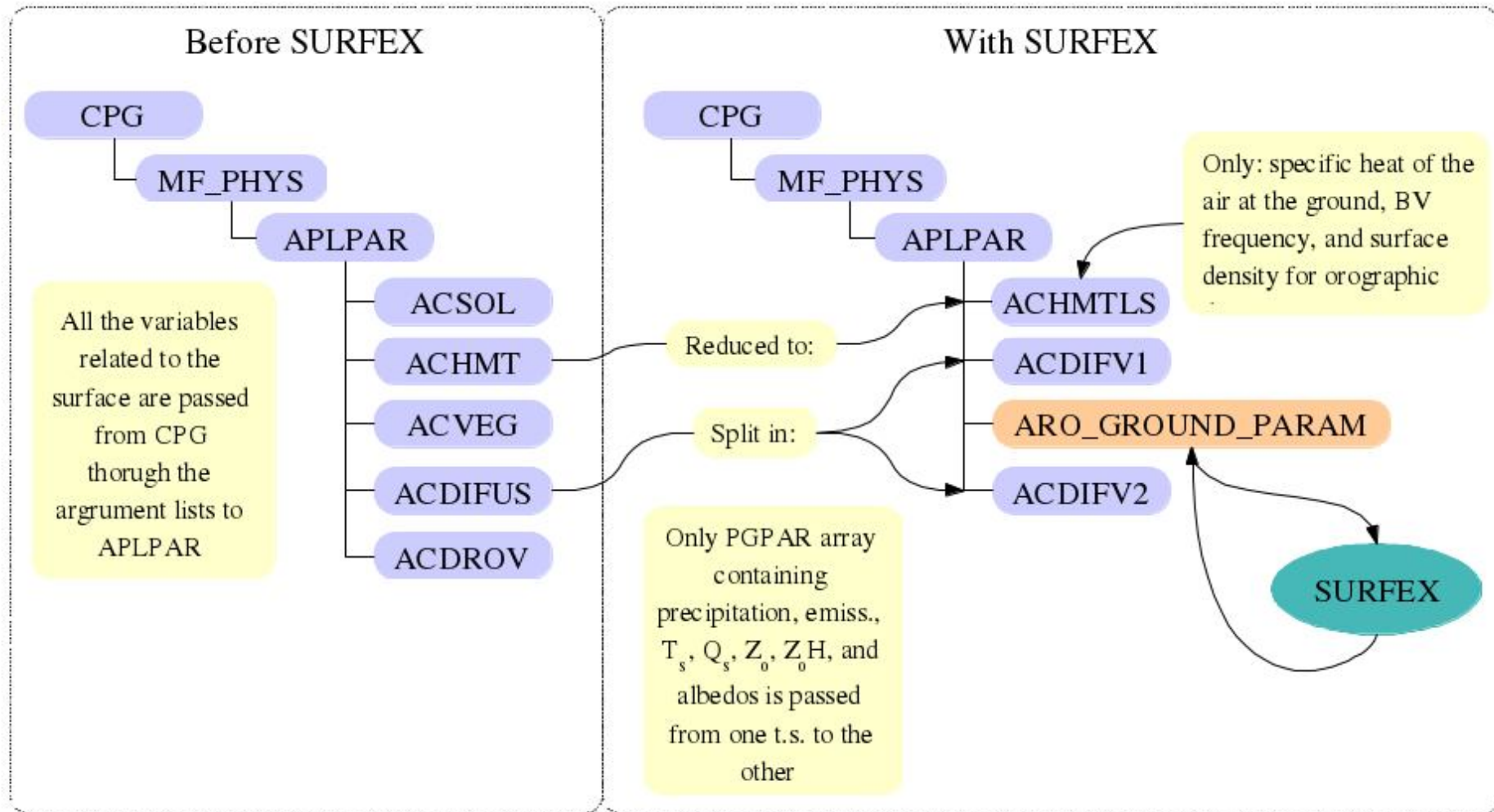
$$\psi_F^{t+\Delta t} - \psi_O^t = \frac{\Delta t}{2}\beta(B_F^{t+\Delta t} + B_O^t) + \Delta t N_M^{t+\frac{\Delta t}{2}} + \Delta t P_M^{t+\frac{\Delta t}{2}}$$

U ALADIN-u (još nije operativno)

$$\Delta t P_M^{t+\frac{\Delta t}{2}} = (1 - RSLPHY) * P_O^t + RSLPHY * P_F^t$$

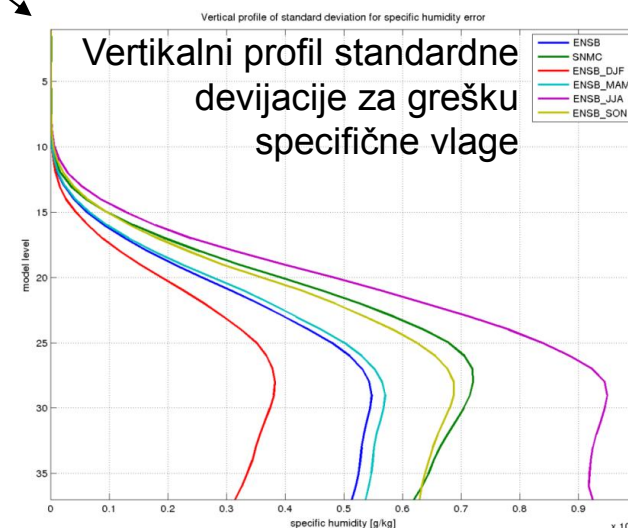
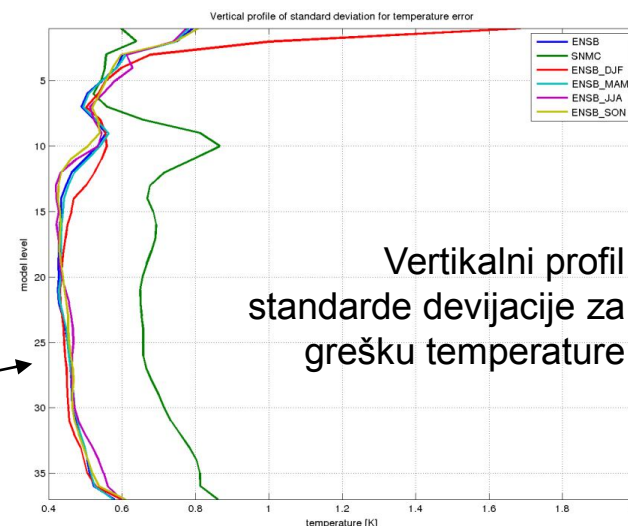


SURFEX (Lukša Kraljević 2005-2006)



Stanešić, Horvath, Kovačić, Ivatek-Šahdan
Područja istraživanja:

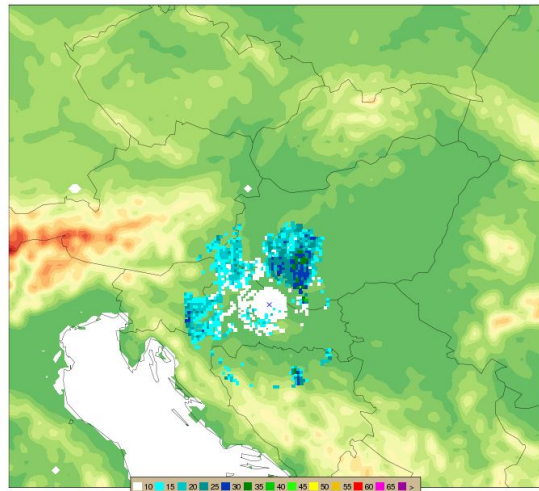
- utjecaj mjerenja na analizu i prognozu – novi izvori (radar, GNSS-ZTD, sateliti...)
- **utjecaj načina proračuna B matrice na analizu i prognozu**
- Stanešić (2009) HMČ
- dizajn/podešavanje asimilacijskog sustava: ispravak pristranosti mjerenja, vrijeme između uzastopnih analiza, načini inicijalizacije, parametri površinske asimilacije (korelacije, oblik funkcije utjecaja)
- Asimilacija radarskih podataka u ALARO model



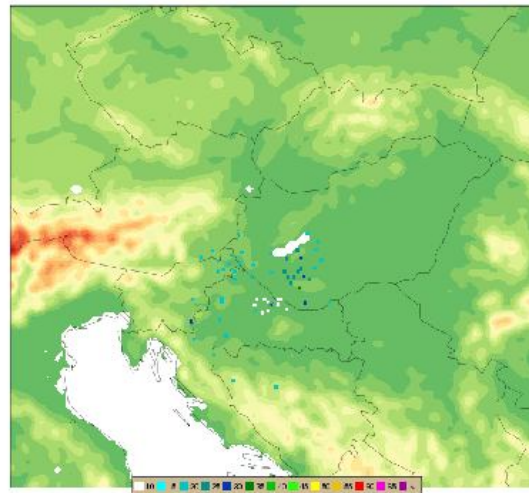
Asimilacija radarskih podataka u ALARO

Mjerenja

Reflectivity -> Elevation: 0.5 | Data: All (not null fg_depar) | Date: UTC



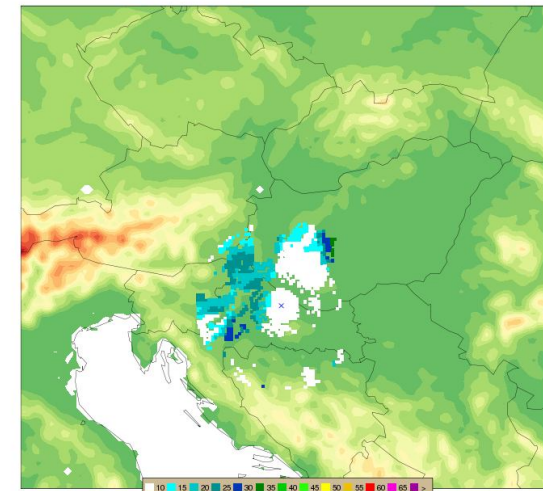
Reflectivity -> Elevation: 0.5 | Data: Active | Date: 20120505 003000 UTC



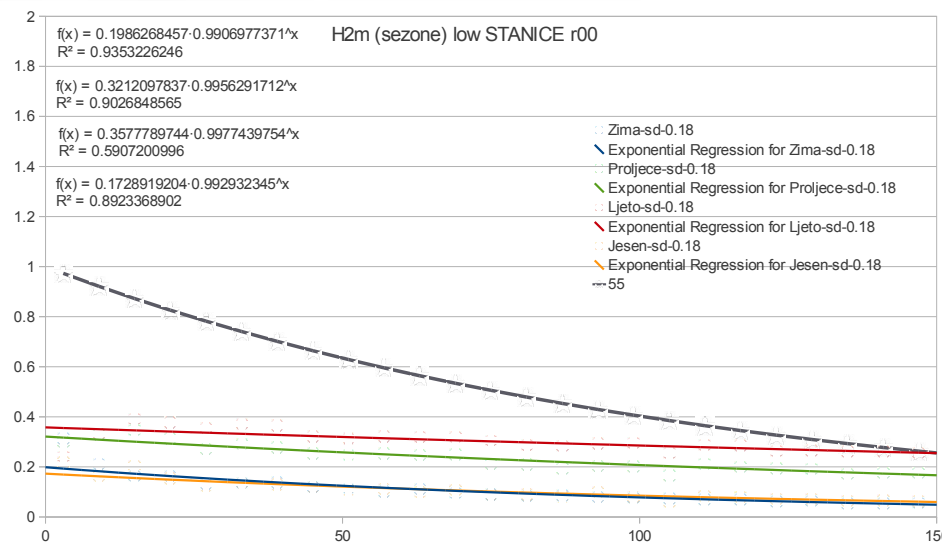
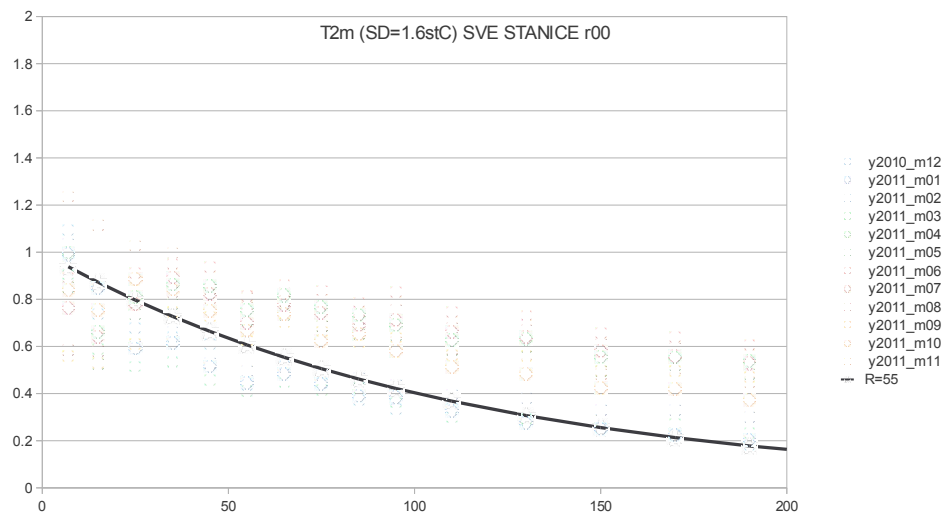
Aktivni podaci

Model

Reflectivity -> Elevation: 0.5 | Data: All (not null fg_depar) | Date: UTC



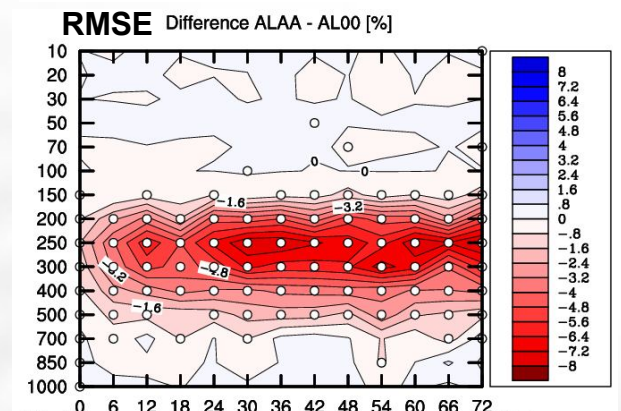
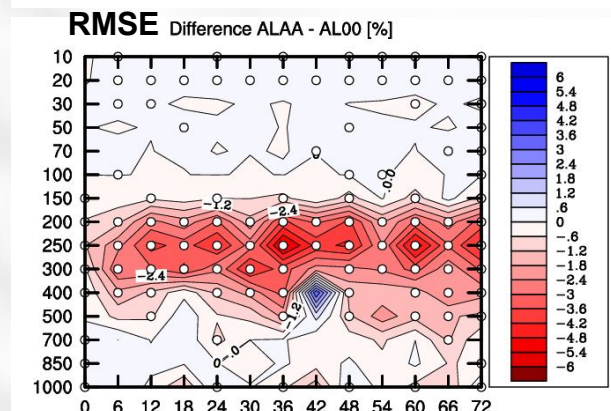
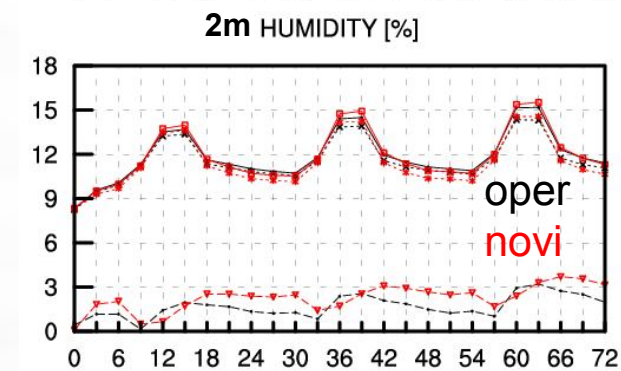
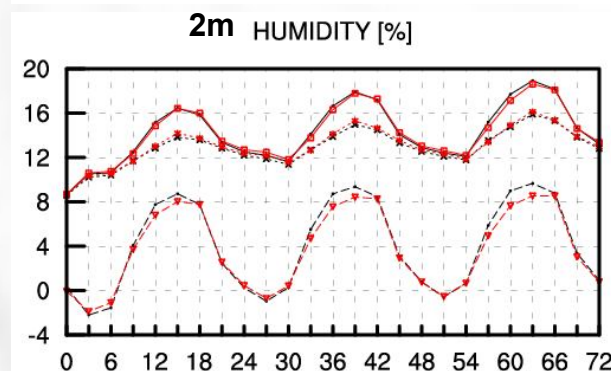
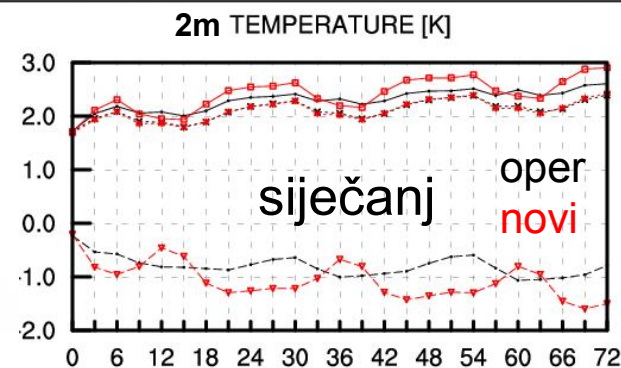
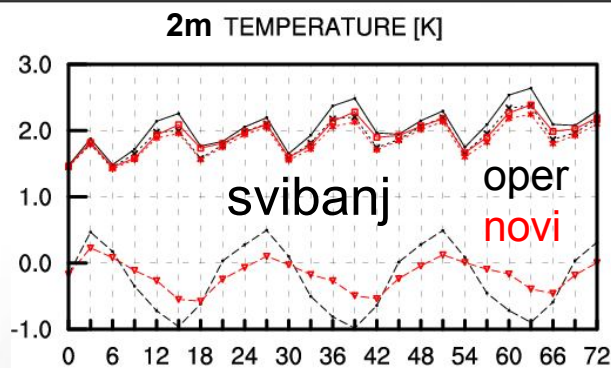
Određivanje koeficijenata korelacije odstupanja modela od mjerenja u ovisnosti o udaljenosti.
Postoji sezonska varijabilnost
Promjenjena je funkcija kojom se izračunava koeficijent korelacije



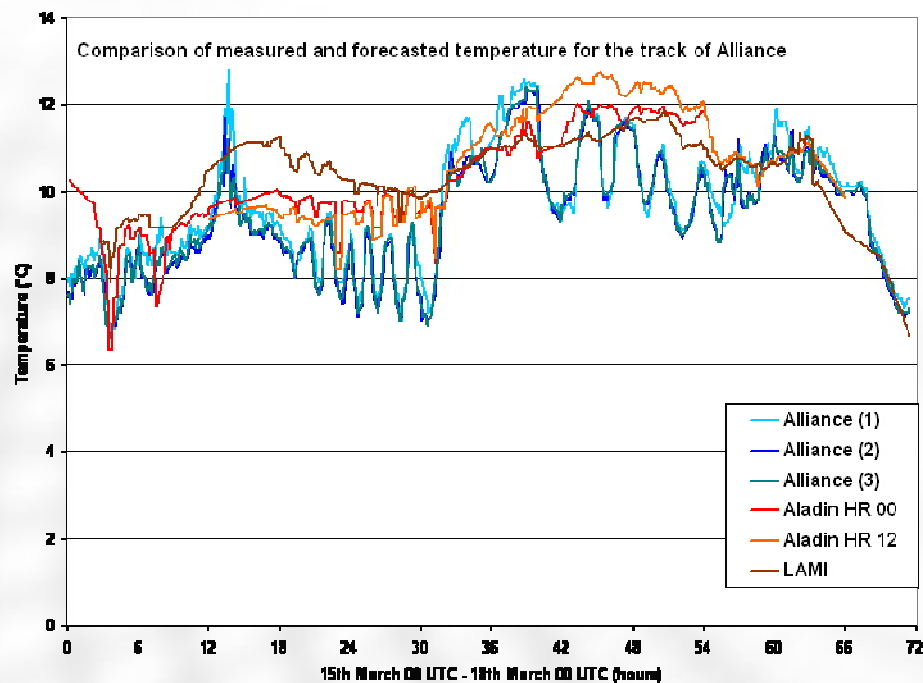
Pred-operativno testiranje (2014)



- Testiranje modela
- specifične situacije (case study)
 - dulja razdoblja
 - kompletan novi cycle i doprinos novih komponenti zasebno
 - tuniranje modela za lokalne potrebe

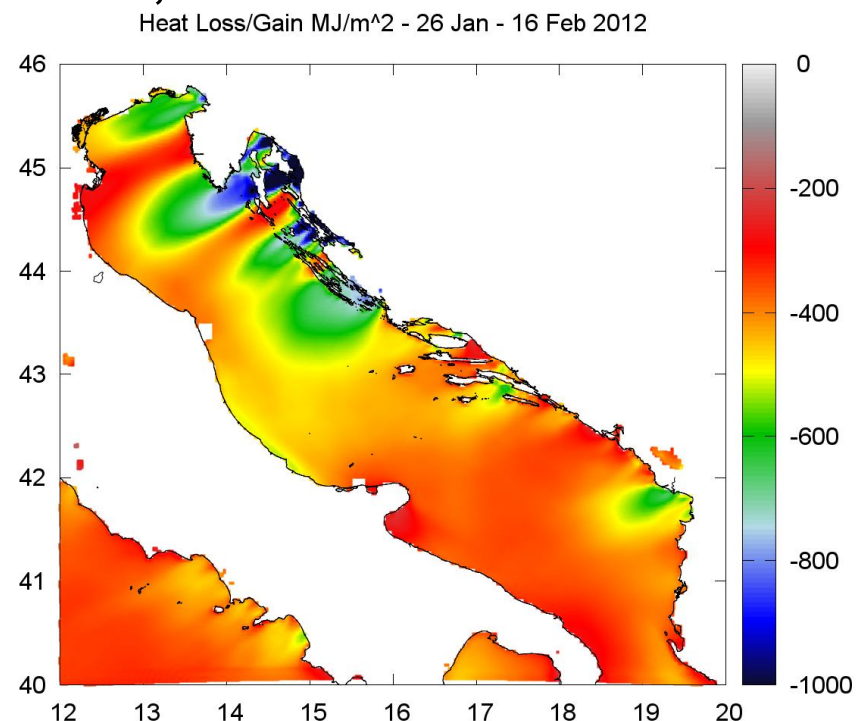


DART



Martin et al. 2009 JGR
Bencetić et al. 2009 JMS
Rixen et al. 2009 JMS
Vilibić et al. 2009 JMS
Vanderbulcke et al. 2009 PiO
Tudor, M. 2009 HMC

IOF, IRB



Mihanović et al. 2013 OS
Janeković et al. 2014 JGR

I još puno puno toga



Ali ne stane u 15 minuta ...